

Fe含量对FeSiBPCu合金非晶晶化行为与磁性能的影响*

崔立英¹ 齐民² 牧野彰宏³

1. 大连海事大学交通运输装备与海洋工程学院 大连 116026
2. 大连理工大学材料科学与工程学院 大连 116024
3. 东北大学金属材料研究所 日本仙台 980-8577

摘要 用熔体快淬法制备不同Fe含量的FeSiBPCu非晶合金并进行快速退火处理,对其晶化行为和磁性能进行了深入研究。结果表明:随着Fe含量的增加,FeSiBPCu合金的表观晶化激活能逐渐降低;FeSiBPCu合金的整个晶化过程析出相一致,与Fe含量无关;Fe_x(SiB)_{96-x}P₃Cu₁ (x=80, 83 and 85)合金退火后得到均匀的纳米晶组织,晶粒尺寸小于20 nm,但是退火态Fe₇₅Si₈B₁₂P₃Cu₁和Fe₇₅Si₈B₁₃P₃Cu₁的晶粒大小很不均匀,晶粒尺寸范围为5-50 nm;退火态Fe₈₅Si₈B₈P₃Cu₁合金表现出优异的软磁性能:矫顽力为12 A·m⁻¹,饱和磁极化强度为1.87 T,在最大磁感应强度为1.7 T时铁损仍低于1.0,远优于广泛使用的退火态Fe₇₈Si₈B₁₃和无取向硅钢。

关键词 金属材料, 铁基非晶合金, 非晶晶化, 软磁性能, 表观晶化激活能

分类号 TG139

文章编号 1005-3093(2015)04-0284-07

Effect of Fe Content on Crystallization Behaviors and Magnetic Properties of Amorphous Alloys Fe_x(SiB)_{96-x}P₃Cu₁

CUI Liying^{1**} QI Min² MAKINO Akihiro³

1. Transportation Equipments and Ocean Engineering College, Dalian Maritime University, Dalian 116026, China
2. School of Materials Science and Engineering, Dalian University of Technology, Dalian 116024, China
3. Institute for Materials Research, Tohoku University, Sendai 980-8577, Japan

*Supported by National Natural Science Foundation of China No.51371042 and the Fundamental Research Funds for the Central Universities No.3132015098.

Manuscript received December 17, 2014; in revised form February 1, 2015.

**To whom correspondence should be addressed, Tel: (0411)84726776, E-mail:cuiiy@dlnu.edu.cn

ABSTRACT Crystallization behavior and soft magnetic properties of amorphous alloys Fe_x(SiB)_{96-x}P₃Cu₁ (x=75, 78, 80, 83 and 85, atomic fraction, %) were investigated. It was found that the apparent activation energy for crystallization decreased with the increasing Fe content of the Fe_x(SiB)_{96-x}P₃Cu₁ alloys. The phases precipitated after properly complete crystallization treatment were the same for all the alloys with varying Fe content. The annealed Fe_x(SiB)_{96-x}P₃Cu₁ (x=80, 83 and 85) alloys exhibited a uniform nanostructure with grain size smaller than 20 nm, while the grain sizes of the alloys with x=75 and 78 ranged from 5 nm to 50 nm. The saturation magnetization enhanced nonlinearly as the Fe content increased from 75 to 85. The nanocrystalline alloy Fe₈₅Si₈B₈P₃Cu₁ exhibited excellent soft magnetic properties with a coercivity of 12 A·m⁻¹ and a saturation magnetization of 1.87 T. The core loss values of nanocrystalline alloys Fe₈₅Si₈B₈P₃Cu₁ and Fe₈₃Si₈B₉P₃Cu₁ were still less than 1.0 W·kg⁻¹ even if the saturation magnetic induction intensity was up to 1.7 T, which were superior to that of the commercial Fe₇₈Si₈B₁₃ alloy and non-orientated silicon steel.

KEY WORDS metallic materials, Fe-based amorphous alloy, nanocrystallization, soft magnetic property, activation energy

* 国家自然科学基金面上项目 51371042 和中央高校基本科研业务费之青年骨干教师基金 3132015098 资助。

2014年12月17日收到初稿; 2015年2月1日收到修改稿。

本文联系人: 崔立英

铁基软磁合金的软磁性能优越且成本较低,得到了广泛应用^[1-5]。以铁基非晶纳米晶合金为主的高饱和磁极化强度(J_s)和低铁损(W)合金,其软磁性能优于硅钢片,且从节能和环保角度被誉为绿色材料^[6]。研制具有更高软磁性能的铁基非晶纳米晶,一直是研究工作的重点。对于 FeSiB 合金,当 Fe 含量(原子分数)为 70%–80% 时能制备出具有良好软磁性能的非晶态薄带,但当 Fe 含量超过 80% 时非晶薄带中因出现粗大的 α -Fe 相而使软磁性能恶化^[7,8]。铁基非晶经晶化热处理后的微观组织和析出相的类型,对磁性能有直接的影响。在 $\text{Fe}_{85}\text{Nb}_6\text{B}_9$ 合金中复合添加 1%P(原子分数,下同)和 0.1% Cu 后,淬火态合金中出现 α -Fe 相,其晶粒尺寸从 45 nm 降到了 2–3 nm^[9]。在 FeSiB 合金中同时添加 P 和 Cu 也使合金在热处理后得到均匀的纳米晶组织,FeSiBPCu 合金表现出优异的软磁性能^[10,11]。在 Fe 基磁性材料中对磁性能起主导作用的是 Fe 元素,本文重点研究 Fe 含量对 FeSiBPCu 合金晶化行为和磁性能的影响。选取合金为 $\text{Fe}_x(\text{SiB})_{96-x}\text{P}_3\text{Cu}_1$ ($x \geq 75\%$),用 DSC、XRD、TEM 等设备配合各项磁性能指标测试设备,研究不同 Fe 含量的 FeSiBPCu 合金的热力学性质、微观组织演变与磁性能。

1 实验方法

1.1 试样的制备

实验用合金的成分为 $\text{Fe}_x(\text{SiB})_{96-x}\text{P}_3\text{Cu}_1$ ($x=75, 78, 80, 83$ 和 85)。母合金原料的纯度(质量分数)分别为 Fe(99.98%), Si(99.98%), Cu(99.99%), B(99.5%)以及预制磷铁。将配好的原料放入高频感应熔炼炉中在高纯氩气保护状态下熔炼,得到成分均匀的母合金,用单辊旋淬法制备出宽度为 1–2 mm、厚度为 20 μm 非晶薄带。

用型号为 ULVAC Mila-3000 的热处理炉将非晶薄带退火,炉内的真空度为 10^{-4} Pa,加热速率为 400 K/min。

1.2 试样的表征

用理学 Geigerflex 型和 RINT 2100 型号的 X 射线衍射仪(XRD)分析样品结构, $\text{CuK}\alpha$, 扫描范围为 20° – 80° 和 20° – 140° ,扫描速率 $1^\circ/\text{min}$ 。用 DSC 6200 型差示扫描量热仪进行非晶晶化动力学分析,分别以变温和等温两种方式测试。变温测试的升温速率为 0.083、0.17、0.34、0.67、1.00 和 1.33 K/s;等温测试温度的选取原则为:比第一个晶化峰晶化开始温度 T_{x1} 低 30 K,升温速率为 0.17 K/s,测试过程中采用 100 mL/min 的高纯氩气保护。用 Fischione 1010 型离子减薄仪

制备透射电镜试样;在 JEM-2000 型高分辨透射电镜(SEM)观测试样的微观组织,加速电压为 200 kV。对于软磁材料,矫顽力、饱和磁极化强度和铁损为最重要的软磁性能指标。用 Riken Denshi 公司 BHH-50 型磁滞曲线仪测试矫顽力,施加的磁场为 $2 \text{ kA}\cdot\text{m}^{-1}$ 。用 VSM-5-10 型振动样品磁强计测试饱和磁极化强度,施加的磁场为 $800 \text{ kA}\cdot\text{m}^{-1}$ 。用 SY-8217 型 B-H 测试仪测试铁损,测试频率为 50 Hz。用 Archimedes 法在正十三烷中测量快淬薄带合金的密度。文中所有的磁性能测试,均在室温下进行。

2 结果和讨论

2.1 热力学分析

图 1 给出了 FeSiBPCu 合金淬火态薄带 DSC 扫描曲线,图中标出了合金的居里温度(T_c)、初始晶化温度(T_x)、峰值温度(T_p)和第一个与第二个放热峰的初始晶化温度的差值(ΔT)。所有曲线都出现两个放热峰,显示出初晶型的晶化特点^[12]。两个放热峰分别对应了 α -Fe 相和 Fe-B 化合物的析出^[13,14]。用 Kissinger 方法^[15]计算出 $\text{Fe}_x(\text{SiB})_{96-x}\text{P}_3\text{Cu}_1$ ($x=75, 78, 80, 83$ 和 85)淬火态合金的表观晶化激活能。表 1 中列出了 $\text{Fe}_x(\text{SiB})_{96-x}\text{P}_3\text{Cu}_1$ ($x=75, 78, 80, 83$ 和 85)合金的热物性参数。

对于 FeSiBPCu 合金,随着 Fe 含量的增加,表观晶化激活能逐渐降低。对于 $\text{Fe}_x(\text{SiB})_{96-x}\text{P}_3\text{Cu}_1$ ($x=75, 78, 80, 83$ 和 85)合金,其 T_c 、 T_{x1} 和 T_{p1} 随着 Fe 含量的增加逐渐降低,但是 T_{x2} 和 T_{p2} 基本上不变。因此, $\text{Fe}_x(\text{SiB})_{96-x}\text{P}_3\text{Cu}_1$ ($x=75, 78, 80, 83$ 和 85)合金的 ΔT 随着 Fe 含量的增加逐渐增大。研究^[13,16,17]指出,对于 ΔT 值高的非晶合金,当其在两峰值温度退火时易形成

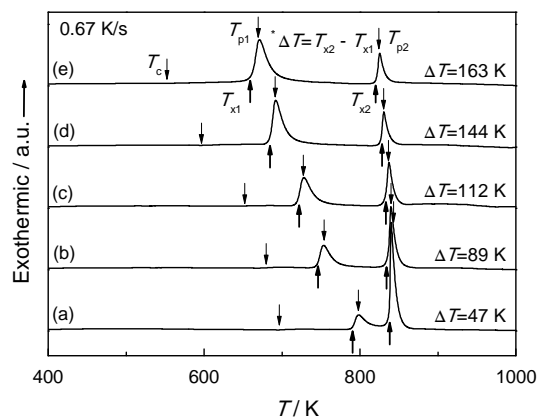


图 1 FeSiBPCu 合金淬火态薄带的 DSC 扫描曲线($\beta=0.67 \text{ K/s}$)

Fig.1 DSC curves of the FeSiBPCu alloys at a heating rate of 0.67 K/s, (a) $\text{Fe}_{75}\text{Si}_8\text{B}_{13}\text{P}_3\text{Cu}_1$, (b) $\text{Fe}_{78}\text{Si}_6\text{B}_{12}\text{P}_3\text{Cu}_1$, (c) $\text{Fe}_{80}\text{Si}_4\text{B}_{11}\text{P}_3\text{Cu}_1$, (d) $\text{Fe}_{83}\text{Si}_3\text{B}_{10}\text{P}_3\text{Cu}_1$, (e) $\text{Fe}_{85}\text{Si}_2\text{B}_9\text{P}_3\text{Cu}_1$

表 1 $\text{Fe}_x(\text{SiB})_{96-x}\text{P}_3\text{Cu}_1$ ($x=75, 78, 80, 83$ 和 85) 合金的热物性参数
Table 1 Thermal physical parameters of $\text{Fe}_x(\text{SiB})_{96-x}\text{P}_3\text{Cu}_1$ ($x=75, 78, 80, 83$ and 85) alloys

Content (atomic fraction)	T_c/K	T_{x1}/K	T_{p1}/K	T_{x2}/K	T_{p2}/K	$\Delta T/\text{K}$	E_x /(kJ/mol)	E_p /(kJ/mol)	n
$\text{Fe}_{75}\text{Si}_8\text{B}_{13}\text{P}_3\text{Cu}_1$	696	789	798	836	840	47	365.1	328.5	2.4
$\text{Fe}_{78}\text{Si}_6\text{B}_{12}\text{P}_3\text{Cu}_1$	671	743	753	832	840	89	295.4	273.1	2.5
$\text{Fe}_{80}\text{Si}_5\text{B}_{11}\text{P}_3\text{Cu}_1$	645	717	728	829	837	112	274.9	250.0	2.3
$\text{Fe}_{83}\text{Si}_4\text{B}_9\text{P}_3\text{Cu}_1$	597	680	692	824	830	144	227.1	220.5	2.3
$\text{Fe}_{85}\text{Si}_3\text{B}_8\text{P}_3\text{Cu}_1$	558	657	671	820	825	163	181.8	197.6	2.5

均匀的纳米晶结构, 而且不容易析出具有大的磁晶各向异性的化合物。高 ΔT 值为高 Fe 含量的 FeSiB-PCu 合金在退火热处理过程中取得优异的磁性能提供了有利的前提条件。

对所有实验合金进行等温 DSC 分析, 根据 JMA 方程计算 $\text{Fe}_x(\text{SiB})_{96-x}\text{P}_3\text{Cu}_1$ ($x=75, 78, 80, 83$ 和 85) 淬火态合金 n 值以确定不同 Fe 含量的 FeSiBPCu 合金晶化机制。表 1 列出了所有合金的 n 值。从表 1 可以看出, 对于 FeSiBPCu 合金, 尽管 Fe 含量不同, 等温加热时的 n 值均在 2.3 到 2.5 之间。这说明, Fe 含量不同的 FeSiBPCu 合金等温晶化是扩散控制的不同形核速率的三维长大过程^[18]。

热力学计算结果表明, 不同 Fe 含量的淬火态 FeSiBPCu 合金的表观晶化激活能差异很大。随着 Fe 含量的增加, FeSiBPCu 合金的表观晶化激活能逐渐减小, 这说明, 淬火态合金的稳定性随着 Fe 含量的增加而降低, 即 $\text{Fe}_{85}\text{Si}_3\text{B}_8\text{P}_3\text{Cu}_1$ 合金最易晶化; 但是等温 DSC 分析表明, Fe 含量的变化没有改变 FeSiB-PCu 合金晶化机制。

2.2 微观组织演变

图 2 给出了 $\text{Fe}_x(\text{SiB})_{96-x}\text{P}_3\text{Cu}_1$ ($x=75, 78, 80, 83$ 和 85) 合金淬火态薄带的 XRD 谱和微观组织观察结果, 可见所有薄带在淬火态均显示出非晶峰的特征。Fe 含量大于 80% 的合金样品的选区电子衍射 (SAED) 花样很尖锐, 表明有纳米晶的存在。在明场像中看到, 非晶基体中分布着尺寸为 2–5 nm 的类似于晶体的团簇, 但是在 $\text{Fe}_{78}\text{Si}_6\text{B}_{12}\text{P}_3\text{Cu}_1$ 和 $\text{Fe}_{75}\text{Si}_8\text{B}_{13}\text{P}_3\text{Cu}_1$ 合金的 SAED 只观测到典型的非晶衍射环, XRD 结果一致。

根据 DSC 曲线给出的结果, 对薄带进行快速热处理。为表述方便, 本文定义 T_{a1} 为合金在两个放热峰之间的温度区间退火时的温度, 定义 T_{a2} 为合金超过 T_{p2} 时的退火温度。图 3 给出了 FeSiBPCu 合金在退火态 (T_{a1}) XRD 谱和 TEM 结果。从图 3 可以看出, 对于 FeSiBPCu 合金, 在 T_{a1} 处退火后, 只发现有 $\alpha\text{-Fe}$

相析出, 没有其他相。通过 TEM 观察, SAED 结果也表明合金中只有 $\alpha\text{-Fe}$ 相析出, 与 XRD 结果相符。用 Scherrer 公式可以通过 XRD 结果计算出退火后合金中晶粒尺寸, 表 2 给出了退火态 $\text{Fe}_x(\text{SiB})_{96-x}\text{P}_3\text{Cu}_1$ ($x=75, 78, 80, 83$ 和 85) 合金中晶粒尺寸与晶格常数的变化。随着 Fe 含量的增加退火态合金晶格常数增大, 晶粒尺寸从 28 nm 减小到 14 nm。退火态 $\text{Fe}_{85}\text{Si}_3\text{B}_8\text{P}_3\text{Cu}_1$ 、 $\text{Fe}_{83}\text{Si}_4\text{B}_9\text{P}_3\text{Cu}_1$ 和 $\text{Fe}_{80}\text{Si}_5\text{B}_{11}\text{P}_3\text{Cu}_1$ 合金晶粒比较均匀, $\text{Fe}_{85}\text{Si}_3\text{B}_8\text{P}_3\text{Cu}_1$ 合金的晶粒尺寸约为 10 nm; $\text{Fe}_{83}\text{Si}_4\text{B}_9\text{P}_3\text{Cu}_1$ 合金晶粒尺寸约为 15 nm; $\text{Fe}_{80}\text{Si}_5\text{B}_{11}\text{P}_3\text{Cu}_1$ 合金的晶粒尺寸约为 20 nm。退火态 $\text{Fe}_{78}\text{Si}_6\text{B}_{12}\text{P}_3\text{Cu}_1$ 和 $\text{Fe}_{75}\text{Si}_8\text{B}_{13}\text{P}_3\text{Cu}_1$ 合金的晶粒大小很不均匀, $\text{Fe}_{78}\text{Si}_6\text{B}_{12}\text{P}_3\text{Cu}_1$ 合金晶粒尺寸范围为 5–30 nm, 而且还观测到一些非晶基体组织 (如图 3 中箭头所示); $\text{Fe}_{75}\text{Si}_8\text{B}_{13}\text{P}_3\text{Cu}_1$ 合金的晶粒尺寸范围较大, 介于 5–50 nm, 且在 $\text{Fe}_{75}\text{Si}_8\text{B}_{13}\text{P}_3\text{Cu}_1$ 合金中还发现较多的非晶基体组织 (如图 3 中箭头所示)。在总体上, 对于 $\text{Fe}_x(\text{SiB})_{96-x}\text{P}_3\text{Cu}_1$ ($x=75, 78, 80, 83$ 和 85) 合金, 随着 Fe 含量的增加, 合金最佳热处理工艺的温度逐渐降低; 退火后微观组织中非晶相的体积含量逐渐降低; 退火后合金的微观组织中晶粒尺寸逐渐减小, 而且趋于均匀。 $\text{Fe}_{75}\text{Si}_8\text{B}_{13}\text{P}_3\text{Cu}_1$ 合金的最佳热处理温度最高, 为 823 K, 但在其退火态合金中仍观测到许多的非晶基体组织。对于 $\text{Fe}_{85}\text{Si}_3\text{B}_8\text{P}_3\text{Cu}_1$ 合金, 其在 773 K 退火 600 s 后合金中的晶粒尺寸约为 10 nm, 几乎观察不到非晶基体组织。

从 FeSiBPCu 合金在 T_{a2} 的温度退火后的 XRD 谱可以看出, 所有的合金中除了有 $\alpha\text{-Fe}$ 相析出外, 还有 Fe_2B 和 Fe_3B 相析出。这说明, FeSiBPCu 合金晶化过程中析出相一致, 与 Fe 含量无关, 但是 P 和 Cu 的复合添加^[11] 改变了 FeSiBPCu 合金晶化过程中析出相类型。 FeSiBPCu 合金中 Fe 的含量变化, 对 FeB 化合物析出相类型没有任何影响。

对于 Fe 含量大于等于 80% 的合金, 在淬火态薄带的非晶基体中发现大量纳米尺寸团簇。这些团簇

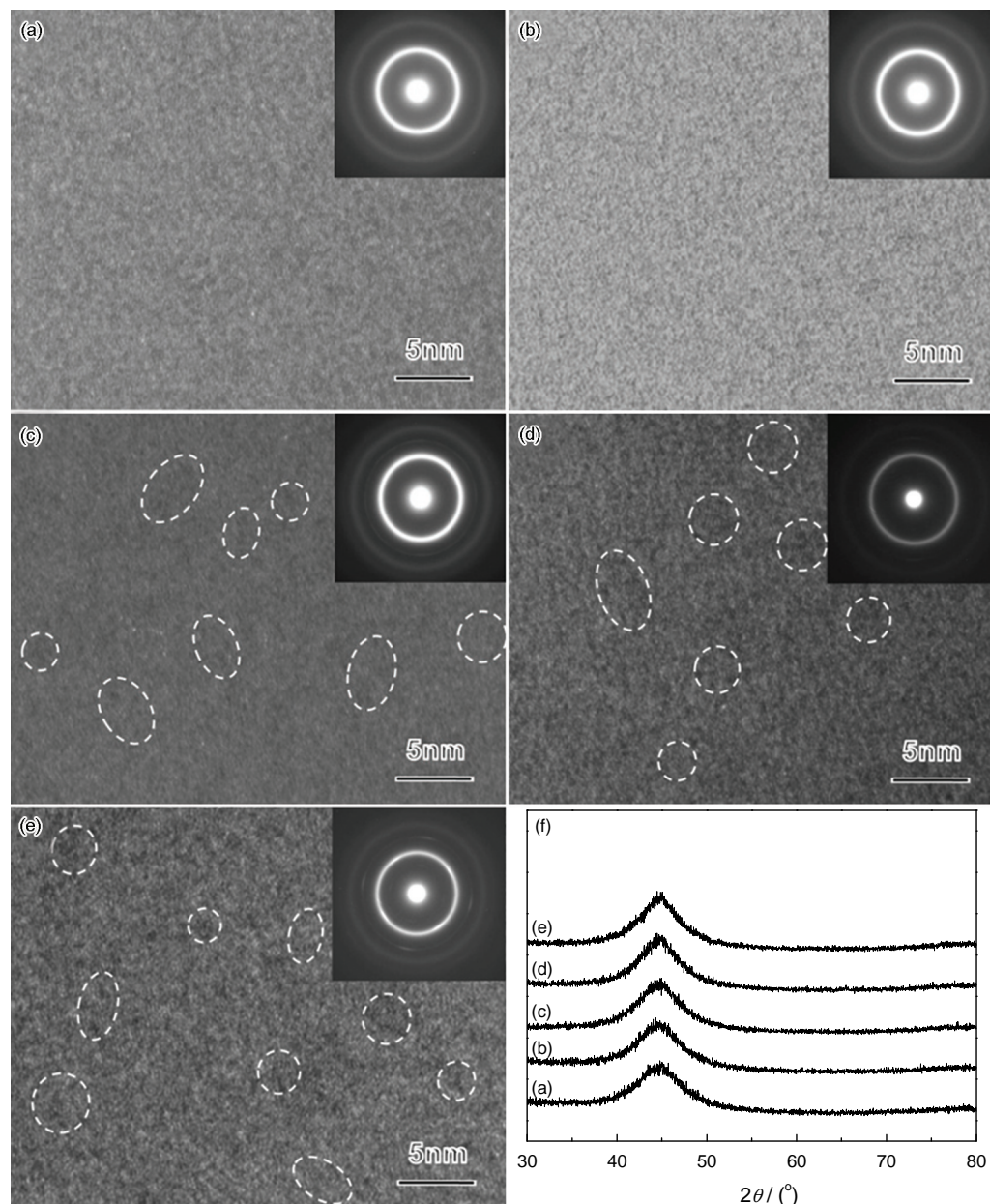


图2 淬火态 $\text{Fe}_x(\text{SiB})_{96-x}\text{P}_3\text{Cu}_1$ ($x=75, 78, 80, 83$ 和 85) 合金的微观组织和 XRD 谱
Fig.2 XRD spectra, HRTEM images and SAED patterns for the melt-spun alloys, (a) $\text{Fe}_{75}\text{Si}_8\text{B}_{13}\text{P}_3\text{Cu}_1$, (b) $\text{Fe}_{78}\text{Si}_8\text{B}_{13}\text{P}_3\text{Cu}_1$, (c) $\text{Fe}_{80}\text{Si}_8\text{B}_{13}\text{P}_3\text{Cu}_1$, (d) $\text{Fe}_{83}\text{Si}_8\text{B}_9\text{P}_3\text{Cu}_1$, (e) $\text{Fe}_{85}\text{Si}_8\text{B}_8\text{P}_3\text{Cu}_1$, (f) XRD spectra

在其他合金的研究^[19, 20]中也观测到过,这是由于在合金成分中P和Cu与Fe的混合焓正好相反。在非晶制备过程中淬火薄带中就形成富含P和Cu的区域。这些团簇在后续退火过程中成为 α -Fe相的析出提供形核位置,使 α -Fe相容易析出,提供了 α -Fe相的形核密度。另外,Fe的原子半径远大于Si和B的原子半径,因此Fe含量越高合金中的空隙就越小,原子就越难以进行远程扩散^[21]。从热力学计算结果也可以看出,随着Fe含量的增加合金的初始表观晶化激活能(即形核势垒)和峰值表观晶化激活能(即晶核长大势垒)逐渐降低。在高铁FeSiBPCu合金中,由于合金的形核势垒最低,合金在退火过程中

形核率就最高。另外,晶核长大势垒也最低,进而导致高铁FeSiBPCu合金中晶核最容易长大,这就使晶核互相竞争生长,最终的晶粒尺寸较小而且均匀。以上几点因素综合作用,导致在退火态 $\text{Fe}_x(\text{SiB})_{96-x}\text{P}_3\text{Cu}_1$ ($x=80, 83$ 和 85)非晶晶化后获得均匀细小的纳米晶组织。这一结果由XRD计算和TEM观察得到了验证。对于 $\text{Fe}_x(\text{SiB})_{96-x}\text{P}_3\text{Cu}_1$ ($x=75$ 和 78)合金,其形核势垒和晶核长大势垒都很高。这说明合金在淬火状态下很稳定,不容易发生晶化反应;而且在淬火态薄带基体中没有观测到团簇,故在退火过程中需消耗很高的能量才能越过形核势垒形成晶核,同时形成的晶核还需要消耗较高的能量才能越过晶核长

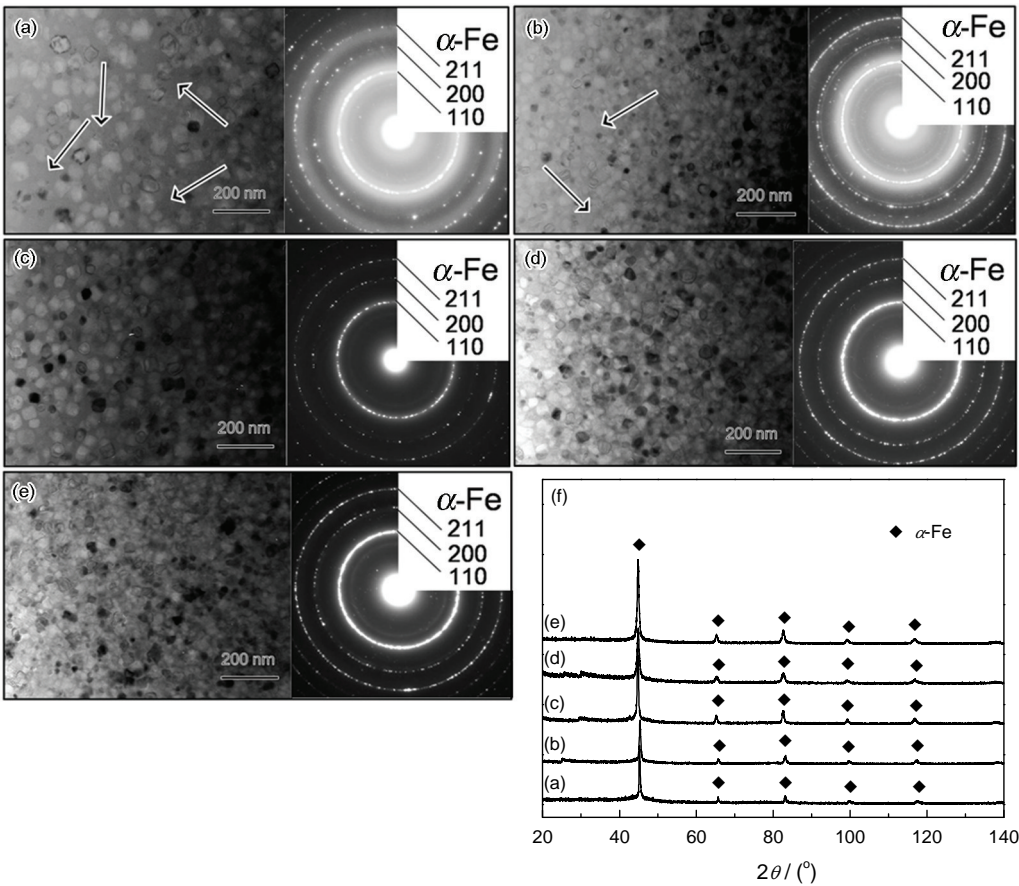


图3 退火态 $\text{Fe}_x(\text{SiB})_{96-x}\text{P}_3\text{Cu}_1$ ($x=75, 78, 80, 83$ 和 85) 合金的微观组织和XRD谱
Fig.3 XRD spectra, HRTEM images and SAED patterns for the annealed alloys, (a) $\text{Fe}_{75}\text{Si}_8\text{B}_{13}\text{P}_3\text{Cu}_1$, (b) $\text{Fe}_{78}\text{Si}_6\text{B}_{12}\text{P}_3\text{Cu}_1$, (c) $\text{Fe}_{80}\text{Si}_5\text{B}_{11}\text{P}_3\text{Cu}_1$, (d) $\text{Fe}_{83}\text{Si}_4\text{B}_9\text{P}_3\text{Cu}_1$, (e) $\text{Fe}_{85}\text{Si}_3\text{B}_8\text{P}_3\text{Cu}_1$, (f) XRD spectra

表2 退火态 $\text{Fe}_x(\text{SiB})_{96-x}\text{P}_3\text{Cu}_1$ ($x=75, 78, 80, 83$ 和 85) 合金中晶格常数与晶粒尺寸
Table 2 Lattice constant and grain size of the annealed $\text{Fe}_x(\text{SiB})_{96-x}\text{P}_3\text{Cu}_1$ ($x=75, 78, 80, 83$ and 85) alloys

Content/%	$2\theta/(\circ)$	d/nm	a/nm	D/nm
$\text{Fe}_{75}\text{Si}_8\text{B}_{13}\text{P}_3\text{Cu}_1$	45.00	0.2012	0.2846	28
$\text{Fe}_{78}\text{Si}_6\text{B}_{12}\text{P}_3\text{Cu}_1$	44.92	0.2016	0.2850	23
$\text{Fe}_{80}\text{Si}_5\text{B}_{11}\text{P}_3\text{Cu}_1$	44.88	0.2017	0.2853	20
$\text{Fe}_{83}\text{Si}_4\text{B}_9\text{P}_3\text{Cu}_1$	44.84	0.2019	0.2855	18
$\text{Fe}_{85}\text{Si}_3\text{B}_8\text{P}_3\text{Cu}_1$	44.82	0.2020	0.2856	14

Note: d , interplanar spacing; a , lattice constant; D , grain size

大势垒长大; 另外, 在Fe含量相对较低的合金中空隙就会较大, 非常有利于原子远程扩散。由于成分起伏和能量起伏就造成部分区域优先形核长大, 从而形成晶粒尺寸范围较大的微观组织。TEM观察也证明了这一点, 同时还发现在大小不均的晶粒间夹杂有大量的非晶相。

上述分析表明, 在淬火态表征为非晶的 FeSiBP-Cu 合金中Fe原子分数已经达到85%, 远远突破了80%的限制。 $\text{Fe}_x(\text{SiB})_{96-x}\text{P}_3\text{Cu}_1$ ($x=75, 78, 80, 83$ 和 85) 合金在晶化过程中析出相类型一致, 与Fe含量的变

化无关。Fe含量的变化对退火后微观组织影响很大, 随着Fe含量增加退火后合金晶粒尺寸逐渐减小, 且趋于均匀, 其中退火态 $\text{Fe}_{75}\text{Si}_8\text{B}_{13}\text{P}_3\text{Cu}_1$ 合金的晶粒尺寸范围为5–50 nm, 且残余有大量的非晶组织; 退火态 $\text{Fe}_{85}\text{Si}_3\text{B}_8\text{P}_3\text{Cu}_1$ 合金晶粒尺寸均匀, 约为10 nm, 几乎观测不到非晶组织。

随着Fe含量的增加退火态合金晶格常数增大, 越来越接近纯 $\alpha\text{-Fe}$ 相的晶格常数。这说明, 随着Fe含量的增加, 其晶化后 $\alpha\text{-Fe}$ 相中所含的溶质元素含量越来越低。这对于获取优异的软磁性能是非常有

chinaXiv:202303.00304v1

利的^[2, 3]。具有纳米尺寸的铁磁晶粒镶嵌于非晶基体中, 这样的微观组织有利于 Fe 基软磁合金优异的软磁性能^[10, 11]。

2.3 磁性能

图 4 给出了 $\text{Fe}_x(\text{SiB})_{96-x}\text{P}_3\text{Cu}_1$ ($x=75, 78, 80, 83$ 和 85) 合金软磁性能结果。图 4a 为 $\text{Fe}_x(\text{SiB})_{96-x}\text{P}_3\text{Cu}_1$ ($x=75, 78, 80, 83$ 和 85) 合金矫顽力(H_c)与退火温度的关系。对于 $\text{Fe}(\%) < 80\%$ 的合金, 其 H_c 的值随着退火温度的升高逐渐增加, 没有出现减小的趋势; 当 $\text{Fe}(\%) \geq 80\%$ 时 FeSiBPCu 合金的 H_c 随着退火温度的升高先增加后减小, 在 T_{a1} 内取得最小值, 然后随着退火温度的升高一直增加, 退火态 $\text{Fe}_{85}\text{Si}_3\text{B}_8\text{P}_3\text{Cu}_1$ 合金

在 773 K 时 H_c 取得最小值, 约为 $12 \text{ A} \cdot \text{m}^{-1}$ 。

图 4b 给出了 $\text{Fe}_x(\text{SiB})_{96-x}\text{P}_3\text{Cu}_1$ ($x=75, 78, 80, 83$ 和 85) 合金饱和磁极化强度(J_s)值。对于淬火态 FeSiBPCu 合金, J_s 都随着 Fe 含量的增加先增加, 当合金的含量超过 83% 后 J_s 减小。 J_s 减小的原因, 可能是在高 Fe 含量的 FeSiBPCu 中类金属元素电子会占用 Fe 元素的 3d 轨道^[22], 导致有效磁向量的减少, 使淬火态的饱和磁极化强度降低。对于退火态(T_{a1} 和 T_{a2}) FeSiBPCu 合金, 其 J_s 随着 Fe 含量的增加而增加。其中, $\text{Fe}_{85}\text{Si}_3\text{B}_8\text{P}_3\text{Cu}_1$ 合金在 T_{a1} 退火后的 J_s 值最大, 达到 1.87 T 。

作为变压器用的软磁材料, 铁损(W)是很重要的性能指标之一, 文中对具有低矫顽力和高饱和磁极化强度的退火态 $\text{Fe}_{83}\text{Si}_4\text{B}_9\text{P}_3\text{Cu}_1$ 和 $\text{Fe}_{85}\text{Si}_3\text{B}_8\text{P}_3\text{Cu}_1$ 进行了铁损测试。图 4c 给出了 $\text{Fe}_{83}\text{Si}_4\text{B}_9\text{P}_3\text{Cu}_1$ 和 $\text{Fe}_{85}\text{Si}_3\text{B}_8\text{P}_3\text{Cu}_1$ 纳米晶软磁合金的 W 与 B_m 的关系。可以看出, 尽管每个合金的 W 都随着最大磁感应强度(B_m) 的增加持续增大, 但是 $\text{Fe}_{83}\text{Si}_4\text{B}_9\text{P}_3\text{Cu}_1$ 和 $\text{Fe}_{85}\text{Si}_3\text{B}_8\text{P}_3\text{Cu}_1$ 纳米晶软磁合金与工业中使用的无取向硅钢相比, 即使在 B_m 为 1.0 T 时的 W 值都很小, 与现在工业中最广泛使用的淬火态 $\text{Fe}_{78}\text{Si}_9\text{B}_{13}$ 相比, 即使在 B_m 达到 1.7 T 时 $W_{1.7\text{T}/50\text{Hz}}$ 值仍低于 $1.0 \text{ W} \cdot \text{kg}^{-1}$ 。铁损这一性能指标能达到如此低的值, 在软磁材料中是极为少见的。

综上, FeSiBPCu 合金中 Fe 含量越高, 合金的软磁性能越好。退火态 $\text{Fe}_{85}\text{Si}_3\text{B}_8\text{P}_3\text{Cu}_1$ 合金表现出优异的综合软磁性能: J_s 为 1.87 T , H_c 低于 $12 \text{ A} \cdot \text{m}^{-1}$, 在 B_m 为 1.7 T 范围内 W 值仍低于 $1.0 \text{ W} \cdot \text{kg}^{-1}$ 。

3 结 论

1. $\text{Fe}_x(\text{SiB})_{96-x}\text{P}_3\text{Cu}_1$ ($x=75, 78, 80, 83$ 和 85) 合金的晶化过程属于形核速率不同的扩散控制的三维长大类型。随着 Fe 含量的增加 T_{x1} 和 T_{p1} 逐渐减小, T_{x2} 和 T_{p2} 基本上不变, 合金的表观晶化激活能减小。

2. $\text{Fe}_x(\text{SiB})_{96-x}\text{P}_3\text{Cu}_1$ ($x=75, 78, 80, 83, 85$) 合金在晶化过程中析出相类型一致。随着 Fe 含量增加退火后合金晶粒尺寸逐渐减小, 而且趋于均匀, 其中退火态 $\text{Fe}_{75}\text{Si}_8\text{B}_{13}\text{P}_3\text{Cu}_1$ 合金的晶粒尺寸范围为 $5\text{--}50 \text{ nm}$, 有大量的残余非晶组织; 退火态 $\text{Fe}_{85}\text{Si}_3\text{B}_8\text{P}_3\text{Cu}_1$ 合金晶粒尺寸均匀, 约为 10 nm , 几乎观测不到非晶组织。

3. FeSiBPCu 合金中 Fe 含量越高, 其软磁性能越好。退火态 $\text{Fe}_{85}\text{Si}_3\text{B}_8\text{P}_3\text{Cu}_1$ 合金表现出很好的软磁性能, J_s 为 1.87 T , H_c 低于 $12 \text{ A} \cdot \text{m}^{-1}$, 在 B_m 为 1.7 T 范围内 W 值仍低于 $1.0 \text{ W} \cdot \text{kg}^{-1}$ 。

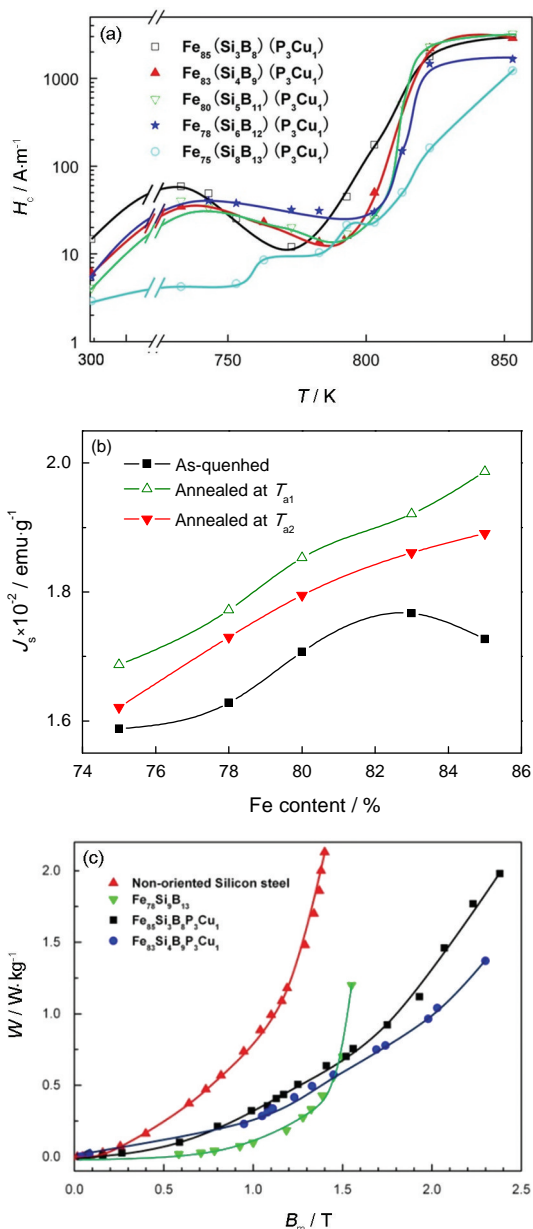


图 4 $\text{Fe}_x(\text{SiB})_{96-x}\text{P}_3\text{Cu}_1$ ($x=75, 78, 80, 83$ 和 85) 合金的软磁性能

Fig.4 Soft magnetic properties of $\text{Fe}_x(\text{SiB})_{96-x}\text{P}_3\text{Cu}_1$ ($x=75, 78, 80, 83$ and 85) alloys

参考文献

- 1 Y. Yoshizawa, S. Oguma, K. Yamauchi, New Fe-based soft magnetic alloys composed of ultrafine grain structure, *Journal of Applied Physics*, **64**(10), 6044(1988)
- 2 K. Suzuki, N. Kataoka, A. Inoue, High saturation magnetization and soft magnetic properties of bcc Fe-Zr-B alloys with ultrafine grain structure, *Materials Transactions, JIM*, **31**(8), 743(1990)
- 3 K. Suzuki, A. Makino, A. Inoue, Soft magnetic properties of nanocrystalline bcc FeZrB and FeMBCu (M=transition metal) alloys with high saturation magnetization, *Journal of Applied Physics*, **70**(10), 100(1991)
- 4 M. A. Willard, D. E. Laughlin, M. E. Mechenry, Magnetic properties of hitperm (Fe, Co)₈₈Zr₇Cu₄B₁ magnets, *Journal of Applied Physics*, **84**(12), 6773(1998)
- 5 M. A. Willard, D. E. Laughlin, M. E. Mechenry, Structure and magnetic properties of (Fe_{0.5}Co_{0.5})₈₈Zr₇B₁Cu₁ nanocrystalline alloys, *Journal of Applied Physics*, **84**(12), 6773(1999)
- 6 F. E. Luborsky, J. J. Becker, J. L. Walter, H. Liebwemann, Formation and magnetic properties of Fe-B-Si amorphous alloys, *IEEE Transactions on Magnetism*, **15**(4), 1146(1979)
- 7 M. Mitera, M. Naka, T. Masumoto, N. Kazama, K. Watanabe, Effects of metalloids on the magnetic properties of iron based amorphous alloys, *Physica Status Solidi (a)*, **49**(2), K163(1978)
- 8 A. Makino, A. Inoue, T. Masumoto, Soft magnetic properties of nanocrystalline Fe-M-B(M=Zr, Hf, Nb) alloys with high magnetization, *Nanostructured Materials*, **6**(5-8), 985(1995)
- 9 A. Makino, M. Bingo, T. Bitoh, K. Yubuta, Improvement of soft magnetic properties by simultaneous addition of P and Cu for nanocrystalline FeNbB alloys, *Journal of Applied Physics*, **101**, 09-N117(2007)
- 10 A. Makino, H. Men, T. Kubota, K. Yubuta, A. Inoue, FeSiBPCu nanocrystalline soft magnetic alloys with high Bs of 19 Tesla produced by crystallizing hetero-amorphous phase, *Materials Transactions*, **50**, 204(2009)
- 11 H. Men, L. Y. Cui, T. Kubota, K. Yubuta, A. Makino, A. Inoue, Fe-Rich soft magnetic FeSiBPCu hetero-amorphous alloys with high saturation magnetization, *Materials Transactions*, **50**(6), 1330(2009)
- 12 A. C. Hsiao, M. E. Mchenry, D. E. Laughlin, M. R. Tamoria, V. G. Harris, Magnetic properties and crystallization kinetics of a Mn-doped FINEMET precursor amorphous alloy, *IEEE Transactions on Magnetism*, **37**(4), 2236(2001)
- 13 E. Illekov, The crystallization Kinetics of Fe₈₀Si₄B₁₆ Metallic Glass, *Thermochim. Acta*, **280**, 289(1996)
- 14 R. Singhal, A. K. Majumdar, Crystallization of glassy Fe₈₀B_{20-x}Si_x (0≤x≤12) alloys, *Journal of Magnetism and Magnetic Materials*, **115**(2-3), 245(1992)
- 15 H. E. Kissinger, Reaction Kinetics in Differential Thermal Analysis, *Analytical Chemistry*, **29**(11), 1702(1957)
- 16 K. Suzuki, M. Kikuchi, A. Makino, T. Masumoto, Changes in microstructure and soft magnetic properties of an Fe₈₆Zr₇B₆Cu₁ amorphous alloy upon crystallization, *Materials Transactions*, **32**(10), 961(1991)
- 17 Y. R. Zhang, R. V. Ramanujan, Microstructural observations of the crystallization of amorphous Fe-Si-B based magnetic alloys, *Thin Solid Films*, **505**(1-2), 97(2006)
- 18 J. W. Christian, *The Theory of Transformation in Metals and Alloys* (Oxford, Pergamon Press, 1965)
- 19 A. Makino, T. Bitoh, A. Inoue, T. Masumoto, Nb-Poor Fe-Nb-B nanocrystalline soft magnetic alloys with small amount of P and Cu prepared by melt-spinning in air, *Scripta Materialia*, **48**(7), 869(2003)
- 20 A. Makino, H. Men, K. Yubuta, T. Kubota, Soft magnetic FeSiBP-Cu heteroamorphous alloys with high Fe content, *Journal of Applied Physics*, **105**(1), 013922(2009)
- 21 F. E. Luborsky, H. H. Liebermann, Crystallization kinetics of Fe-B amorphous alloys, *Applied Physics Letters*, **33**(3), 233(1978)
- 22 H. Men, L. Y. Cui, T. Kubota, A. Makino, A. Inoue, Fe-Rich soft magnetic FeSiBPCu hetero-amorphous alloys with high saturation magnetization, *Materials Transactions*, **50**(6), 1330(2009)